

理科综合能力测试

注意事项：

1. 答卷前，考生务必将自己的姓名、准考证号填写在答题卡上。
2. 回答选择题时，选出每小题答案后，用 2B 铅笔把答题卡上对应题目的答案标号涂黑；如需改动，用橡皮擦干净后，再选涂其他答案标号。回答非选择题时，将答案写在答题卡上，写在本试卷上无效。
3. 考试结束后，将本试卷和答题卡一并交回。

可能用到的相对原子质量：H 1 C 12 N 14 O 16 Ca 40

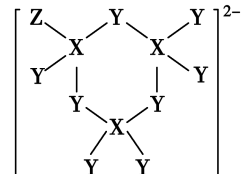
一、选择题：本题共 13 小题，每小题 6 分，共 78 分。在每小题给出的四个选项中，只有一项是符合题目要求的。

1. 乳酸脱氢酶为含 Zn 的蛋白质，在无氧呼吸中催化丙酮酸和 [H] 反应产生乳酸。人体内成熟红细胞中乳酸脱氢酶含量约为正常血清的 100 倍。下列相关叙述正确的是
 - A. Zn 是组成细胞的大量元素，细胞中不存在无机自然界没有的特殊元素
 - B. 人体内成熟红细胞无线粒体，能在无氧条件下进行产生乳酸的无氧呼吸
 - C. 乳酸脱氢酶只能在细胞质基质中发挥作用，可显著降低化学反应活化能
 - D. 无氧呼吸的第一阶段把葡萄糖分解成丙酮酸，该过程不能产生 [H]
2. 哪怕一个最简单的细胞，也比迄今为止的任何智能电脑更加精美。如图表示小肠上皮细胞吸收和排出 Ca^{2+} 的过程，下列相关叙述不正确的是

The diagram illustrates the transport of calcium ions (Ca^{2+}) across the apical membrane of an intestinal epithelial cell. The apical membrane contains a sodium channel (Na^+ channel) allowing Na^+ to enter. A vesicle (labeled '囊泡') moves towards the membrane. Inside the cell, a Ca^{2+} -ATPase pump moves Ca^{2+} out. A $\text{Na}^+ - \text{Ca}^{2+}$ exchanger moves Ca^{2+} out in exchange for Na^+ . Additionally, Ca^{2+} enters through another Ca^{2+} -ATPase pump and is bound by a Ca^{2+} - 钙结合蛋白 (calbindin) complex.

 - A. Ca^{2+} 顺浓度梯度进入小肠上皮细胞，这种跨膜运输方式属于协助扩散
 - B. Ca^{2+} 通过 Ca^{2+} -ATPase 排出是主动运输，通过钠钙交换体排出是协助扩散
 - C. 细胞通过囊泡以胞吐的方式将 Ca^{2+} 排出细胞外，体现了细胞膜的流动性
 - D. 钙结合蛋白可以阻止胞内游离 Ca^{2+} 浓度升高，以维持细胞内渗透压的稳定
3. 蚕豆是二倍体生物，体细胞中有 12 条染色体。下列关于蚕豆细胞分裂的叙述不正确的是
 - A. 有丝分裂后期和减数第二次分裂后期，着丝点分裂，姐妹染色单体分开
 - B. 有丝分裂末期，在赤道板的位置出现一个细胞板，进而形成新的细胞壁
 - C. 细胞减数第一次分裂前期，同源染色体进行联会，形成 6 个四分体
 - D. 减数分裂产生的配子中，染色体完全来自父方或母方的配子占 $1/4$

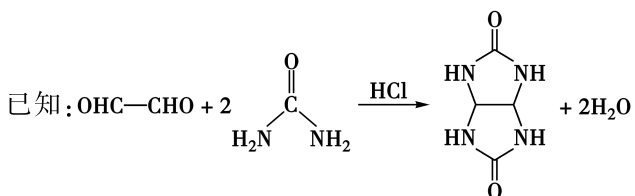
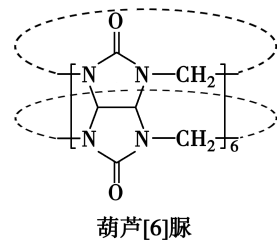
4. 人体内血液中激素含量可以反映机体的健康状况。下列相关叙述正确的是
- 细胞外液的渗透压升高,垂体合成及分泌的抗利尿激素减少
 - 进食后胰岛素分泌量增加,促进糖原分解成葡萄糖进入血液
 - 人体内激素的生理功能各异,它们共同调节机体的生命活动
 - 血液中甲状腺激素含量偏高时,仅会抑制下丘脑分泌相关激素
5. 稻田中的主要害虫有卷叶螟和褐飞虱,拟水狼蛛以这两种害虫为食。下列相关叙述正确的是
- 拟水狼蛛与害虫间的信息传递,有利于调节生物的种间关系
 - 防治稻田害虫,可提高流向对人类有益部分的能量传递效率
 - 卷叶螟和褐飞虱种群的数量下降,则稻田生物群落的丰富度下降
 - 在弃耕的稻田上也会发生群落的演替,该演替类型是初生演替
6. 鸡的羽毛有芦花和非芦花两种类型,雌性非芦花鸡和雄性芦花鸡交配, F_1 均为芦花鸡。 F_1 个体互相交配, F_2 的雄性均为芦花鸡,雌性一半是芦花鸡、一半是非芦花鸡。下列推断正确的是
- 鸡羽毛的非芦花对芦花是显性
 - F_1 和 F_2 中的芦花鸡均为杂合子
 - 若 F_2 中的芦花鸡相互交配,后代为非芦花鸡的概率为 $1/8$
 - 若以雌性芦花鸡和雄性非芦花鸡进行反交,则 F_1 和 F_2 的表现型不变
7. 材料的发展推动着人类文明的进步。下列叙述错误的是
- 自古以来我国的陶瓷制品享誉海内外,陶瓷属于无机非金属材料
 - 三星堆遗址出土的青铜兽首冠人像使用的青铜属于合金
 - 碳纤维被誉为“新材料之王”,是一种新型有机高分子材料
 - 制造特种防护服的芳纶纤维属于合成高分子材料
8. 下列反应的离子方程式正确的是
- 向 FeI_2 溶液中通入少量 Cl_2 : $2\text{Fe}^{2+} + \text{Cl}_2 \rightarrow 2\text{Fe}^{3+} + 2\text{Cl}^-$
 - 室温下,用稀硝酸溶解铜: $3\text{Cu} + 2\text{NO}_3^- + 8\text{H}^+ \rightarrow 3\text{Cu}^{2+} + 2\text{NO} \uparrow + 4\text{H}_2\text{O}$
 - 向 $0.1 \text{ mol} \cdot \text{L}^{-1} \text{MgCl}_2$ 溶液中加入足量石灰乳: $\text{Mg}^{2+} + 2\text{OH}^- \rightarrow \text{Mg(OH)}_2 \downarrow$
 - 同体积同浓度的 NH_4HSO_4 溶液与 NaOH 溶液混合: $\text{NH}_4^+ + \text{OH}^- \rightarrow \text{NH}_3 \cdot \text{H}_2\text{O}$
9. 反王水是由 3 体积浓硝酸和 1 体积浓盐酸组成的混合物,腐蚀能力强于王水。反王水中含有一种氧化性很强的离子(如图所示),其中不含氢元素。下列叙述错误的是
- 原子半径: $r(\text{Z}) > r(\text{X}) > r(\text{Y})$
 - X, Z 均能与 Y 形成多种化合物
 - 该离子中各元素原子最外层均满足 8 电子稳定结构
 - $\text{X}, \text{Y}, \text{Z}$ 的最简单气态氢化物中,沸点最高的是 X 的气态氢化物



10. 根据实验目的,下列实验操作及现象、实验结论都正确的是

选项	实验目的	实验操作及现象	实验结论
A	检验硫酸厂周边空气是否含有 SO_2	用注射器多次抽取空气,慢慢注入盛有酸性 KMnO_4 稀溶液的同一试管中,溶液不变色	空气中不含 SO_2
B	证明 CH_3COOH 是弱电解质	用 pH 计分别测量醋酸溶液和盐酸的 pH, 醋酸溶液的 pH 大	CH_3COOH 是弱电解质
C	探究淀粉的水解程度	向淀粉水解液中加入 NaOH 溶液调节溶液至碱性,并分成两份。向第一份中加入银氨溶液并水浴加热出现银镜;向第二份中滴加少量碘水,溶液变蓝色	淀粉部分水解
D	探究卤素单质 Cl_2 、 Br_2 和 I_2 的氧化性强弱	向 NaBr 溶液中通入过量氯气,溶液变橙色,再滴加淀粉 KI 溶液,溶液变蓝色	氧化性: $\text{Cl}_2 > \text{Br}_2 > \text{I}_2$

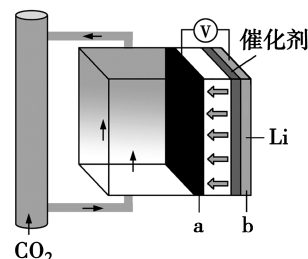
11. 葫芦脲是超分子领域近年来发展迅速的大环主体分子之一,具有疏水的刚性空腔。葫芦[6]脲的结构简式如图所示,对位取代的苯的衍生物恰好可以进入葫芦[6]脲的空腔。下列关于葫芦[6]脲的说法正确的是



- A. 属于高分子化合物
- B. 能发生水解反应
- C. 仅由乙二醛和尿素两种物质合成
- D. 邻甲基苯甲酸或间甲基苯甲酸易进入葫芦[6]脲的空腔

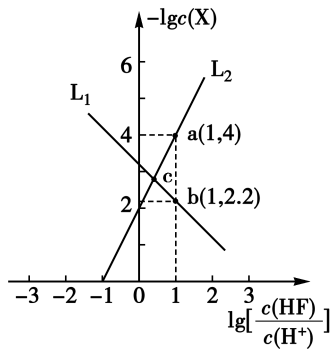
12. Li-CO₂ 电池在可逆的 CO₂ 循环和储能领域都具有巨大的潜力。研究发现,用不同材料作 Li 极催化剂时,CO₂ 的放电产物不同,催化剂的使用情况和放电时的装置如下列图表所示。下列说法正确的是

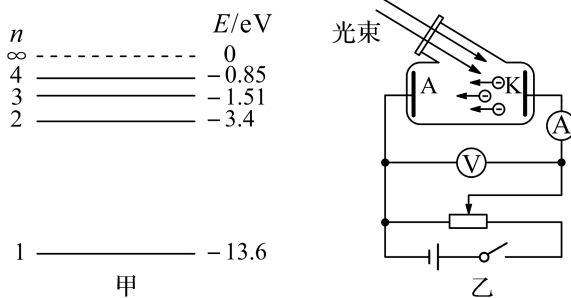
Li 极催化剂	碳化钼 (Mo_2C)	Au 和多孔碳
CO ₂ 的放电产物	草酸锂 ($\text{Li}_2\text{C}_2\text{O}_4$)	Li_2CO_3 和 C



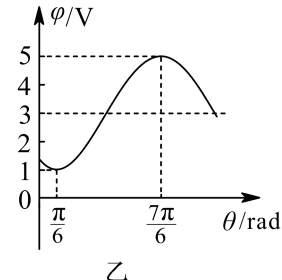
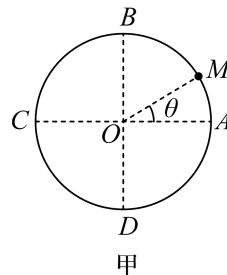
- A. 充电时,在 a 极上 Li^+ 被还原为 Li
- B. 放电时, Li^+ 向 b 极移动

- C. 放电时,用碳化钼作 Li 极催化剂的总反应为 $2\text{Li} + 2\text{CO}_2 \rightarrow \text{Li}_2\text{C}_2\text{O}_4$
- D. 生成等物质的量的 $\text{Li}_2\text{C}_2\text{O}_4$ 和 Li_2CO_3 时,消耗 CO_2 的量相同
13. 已知 SrF_2 属于微溶于水、可溶于酸的强碱弱酸盐。常温下,用 HCl 调节 SrF_2 浊液的 pH,测得在不同 pH 条件下,体系中 $-\lg c(\text{X})$ (X 为 Sr^{2+} 或 F^-) 与 $\lg \left[\frac{c(\text{HF})}{c(\text{H}^+)} \right]$ 的关系如图所示。下列说法正确的是
- A. a 点溶液中存在: $2c(\text{Sr}^{2+}) + c(\text{H}^+) = c(\text{F}^-) + c(\text{OH}^-)$
- B. c 点溶液中存在: $c(\text{H}^+) = c(\text{Cl}^-) + c(\text{OH}^-) - c(\text{F}^-)$
- C. 常温下, $K_{\text{sp}}(\text{SrF}_2) = 10^{-10.2}$
- D. 常温下, 氢氟酸的 K_a 数量级为 10^{-2}
- 二、选择题:**本题共 8 小题,每小题 6 分,共 48 分。在每小题给出的四个选项中,第 14~17 题只有一项符合题目要求,第 18~21 题有多项符合题目要求。全部选对的得 6 分,选对但不全的得 3 分,有选错的得 0 分。
14. 如图是户外活动时常用的一种便携式三脚架,它由三根长度均为 l 的轻杆通过铰链组合在一起,每根轻杆均可绕铰链自由转动。将三脚架静止放在水平地面上,吊锅通过一根细铁链静止悬挂在三脚架正中央,三脚架顶点离地的高度 $h = \frac{4}{5}l$,吊锅和细铁链的总质量为 m ,支架与铰链间的摩擦忽略不计。则
- A. 每根轻杆中的弹力大小为 $\frac{1}{3}mg$
- B. 每根轻杆对地面的摩擦力大小为 $\frac{1}{4}mg$
- C. 减小 h 时,每根轻杆对地面的压力增大
- D. 减小 h 时,每根轻杆对地面的摩擦力减小
15. 2022 年 11 月 30 日,神舟十五号、神舟十四号航天员乘组在空间站成功会师,航天员可以通过同步卫星与地面进行实时联系。设空间站与同步卫星均绕地球做匀速圆周运动,已知空间站的运行周期约为 90 min。则下列相关说法正确的是
- A. 航天员在空间站中所受的重力为 0
- B. 航天员在空间站中漂浮时处于平衡状态
- C. 空间站绕地球运动的速度大于同步卫星的速度
- D. 空间站绕地球运动的加速度小于同步卫星的加速度
16. 图甲为氢原子的能级图,大量处于 $n=4$ 激发态的氢原子跃迁时,发出频率不同的大量光子,这些光子照射到图乙电路中光电管阴极 K 上,调节滑动变阻器,发现当电压表示数大于或等于 2.0 V 时,电流表示数为零。则阴极 K 的逸出功为
- A. 10.75 eV B. 10.2 eV C. 10.09 eV D. 2.0 eV



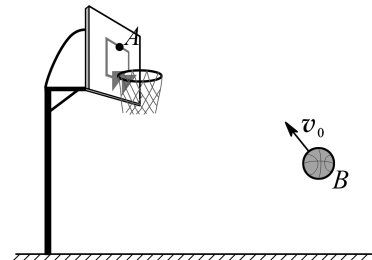


17. 如图甲所示,一圆心为 O 的圆形区域 $ABCD$ 处在平行于纸面的匀强电场中,其半径 $R=0.1\text{ m}$ 。 M 为圆弧上一点,若半径 OM 沿逆时针方向转动, θ 为 OM 从 OA 位置开始旋转的角度, M 点的电势 φ 随 θ 变化的关
系如图乙所示。下列说法正确的是



- A. 匀强电场的电场强度大小为 10 V/m
 B. 匀强电场的电场强度方向为垂直于 AC 连线向上
 C. 将一质子由 B 点沿圆弧逆时针移至 D 点, 电势能增加 2 eV
 D. 将一电子由 A 点沿圆弧逆时针移至 C 点, 电场力先做正功后做负功

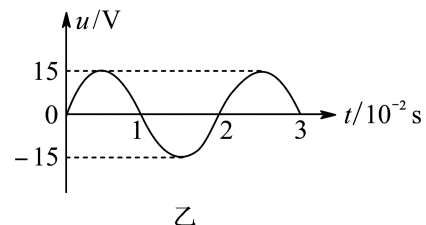
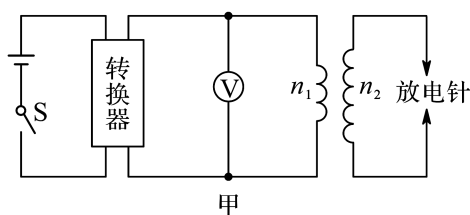
18. 如图,将一篮球从地面上方 B 点斜向上抛出,球恰好垂直击中竖直篮板上的 A 点,球击中篮板前后瞬间速度大小不变、方向相反。测得 B 点位置与篮板的水平距离为 3 m , 距水平地面高度为 1.5 m , A 点距地面高度为 3.3 m 。篮球视为质点,质量为 0.6 kg ,重力加速度大小 g 取 10 m/s^2 ,空气阻力忽略不计。下列说法正确的是



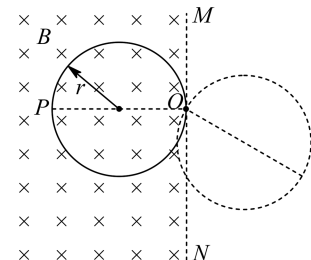
- A. 球从抛出到击中篮板的过程所用时间为 0.8 s
 B. 球击中篮板前瞬间的速度大小为 5 m/s
 C. 球对篮板的冲量大小为 $5\text{ N}\cdot\text{s}$
 D. 球从 B 点抛出时的动能为 18.3 J

19. 图甲为家用燃气电子脉冲点火装置的简化原理图,通过转换器将直流电压转换为如图乙所示的正弦交流电压,并加在理想变压器的原线圈上,再经变压器升成峰值是 15 kV 的高电压。当放电针间电压值达到 15 kV 时进行一次尖端放电,由放电火花引燃燃气。下列说法正确的是

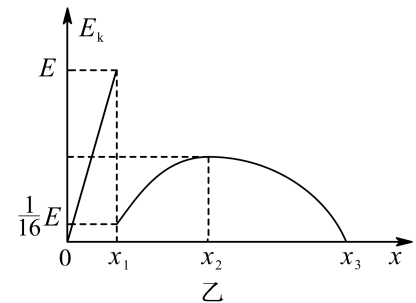
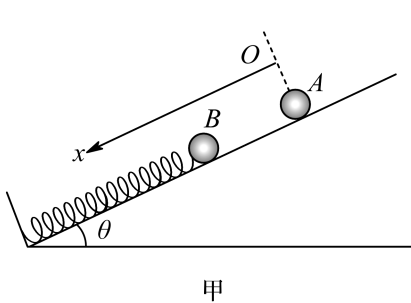
- A. 理想交流电压表 V 的示数为 15 V
 B. 放电针每秒可尖端放电 100 次
 C. 变压器原、副线圈的匝数之比为 $1:1000$
 D. 不经过转换器,只要副线圈的匝数足够大就可以引燃燃气



20. 如图,在竖直边界 MN 左侧存在一方向垂直于竖直平面向里的匀强磁场,磁感应强度大小为 B 。磁场中有一个由匀质导线制成的单匝圆形线圈,最初置于与边界 MN 相切于 O 点的位置,线圈可绕过 O 点的水平光滑转轴在竖直平面内自由摆动。已知线圈质量为 m ,半径为 r ,电阻为 R 。现将线圈从初始位置由静止释放,向右摆至最高点时,直径 OP 转过的角度为 150° 。摆动过程中线圈所受的空气阻力不计,重力加速度大小为 g 。则
- 线圈摆动时,所受安培力的方向始终和边界 MN 垂直
 - 线圈从释放到第一次摆至右侧最高点的过程中,安培力对线圈做的功为 $0.5mgr$
 - 线圈从释放到最后静止的过程中,线圈中产生的焦耳热为 $0.5mgr$
 - 线圈从释放到最后静止的过程中,通过线圈导线横截面的电荷量为 $\frac{B\pi r^2}{2R}$



21. 如图甲所示,轻质弹簧一端系在倾角为 θ 的固定光滑斜面底端,另一端与球 B 相连,球 B 处于静止状态。现将球 A 置于球 B 上方斜面某位置处,并以此位置作为原点 O ,沿平行于斜面向下为正方向建立 x 轴坐标系。某时刻将球 A 由静止释放, A 与 B 碰撞后以共同速度沿斜面向下运动,碰撞时间极短,测得球 A 的动能 E_k 与其位置坐标 x 的关系如图乙所示,图像中 $0 \sim x_1$ 之间为直线,其余部分为曲线。球 A 、 B 均可视为质点,弹簧始终处于弹性限度内,不计空气阻力,重力加速度大小为 g 。则



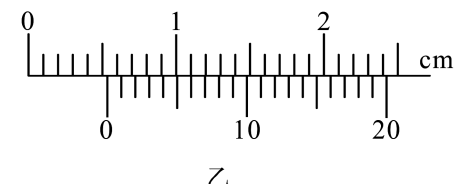
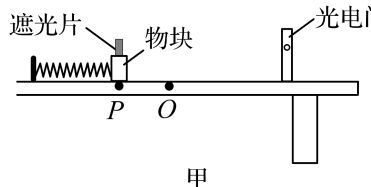
- A 、 B 的质量之比为 $1 : 3$
- A 与 B 碰撞后在 x_1 位置处速度最大
- A 与 B 碰撞后在 x_3 位置处加速度最大
- 弹簧的劲度系数为 $\frac{E}{x_1(x_2-x_1)}$

三、非选择题:包括必考题和选考题两部分。第 22 题~32 题为必考题,每个考生都必须作答。第 33 题~38 题为选考题,考生根据要求作答。

(一) 必考题(11 题,共 129 分)

22. (5 分)

某实验小组利用图甲的装置测量物块与水平桌面间的动摩擦因数。实验过程如下:



(1)用游标卡尺测量图甲中固定于物块上遮光片的宽度 d ,示数如图乙所示, $d=$ _____ mm。在桌面上固定好轻弹簧和光电门,其中 O 为弹簧未压缩时物块的位置,将光电门与数字计时器连接(图中未画出)。

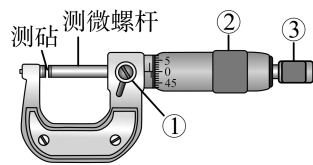
(2)用物块将弹簧压缩至位置 P ,测量出物块到光电门的距离为 x_1 。将物块由静止释放,测出物块上的遮光片通过光电门的时间为 t_1 ,则物块通过光电门的速度 $v_1=$ _____。(用题中测得的物理量符号表示)

(3)将光电门向右移动到某一合适位置,仍用物块将弹簧压缩至位置 P ,测量出物块到光电门的距离为 x_2 。将物块由静止释放,测出物块通过光电门的速度 v_2 ,则物块与桌面之间的动摩擦因数 $\mu=$ _____。(用 x_1 、 x_2 、 v_1 、 v_2 和重力加速度 g 表示)

23. (10 分)

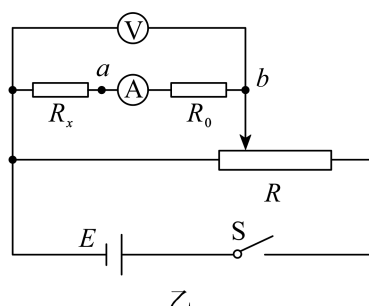
为测量一段长度已知为 l 、粗细均匀的电阻丝的电阻率,某小组采用了如下实验操作:

(1)用图甲中的螺旋测微器测量电阻丝的直径 d 。先将电阻丝轻轻地夹在测砧与测微螺杆之间,当测微螺杆快接近电阻丝时,再旋转 _____ (选填“①”“②”或“③”),直到听见“喀喀”的声音为止;测量时需要选择电阻丝的不同位置进行多次测量,再取平均值作为电阻丝的直径,其目的是减小 _____ (选填“偶然”或“系统”)误差。

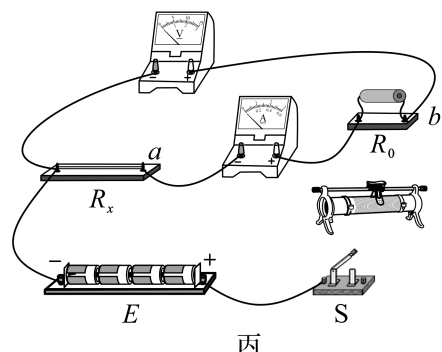


甲

(2)用图乙所示电路图测量电阻丝的电阻 R_x ,其中 R_0 为一定值电阻。请用笔画线代替导线,把图丙中的实物电路补充完整。



乙



丙

(3)第一次按图乙所示的电路测量,调节滑动变阻器的滑片,测得多组电压 U 及电流 I 的值;第二次将电压表改接在 a 、 b 两点测量,测得多组电压 U 及电流 I 的值,并作出如图丁所示的 $U-I$ 图像。则第一次测量得到的图线是 _____(选填“M”或“N”),由图像可得电阻丝的电阻 $R_x=$ _____ Ω 。

最后,根据电阻定律可求得电阻丝的电阻率 $\rho=$ _____。(用 l 、 d 、 R_x 及常量表示)

24. (12 分)

如图,短道速滑接力比赛时,“交棒”的运动员在到达接力地点时,需要推送一下前面“接棒”的队友以完成

接力。在某次直道交接训练中,质量为 50 kg 的队员甲以 12 m/s 的速度匀速向质量为 60 kg 的队员乙滑来,当甲运动到 P 点时,乙从 Q 点开始滑动,乙起滑后到交接前的运动可看做匀加速直线运动,其加速度大小为 3.2 m/s^2 ,甲、乙两人在 M 点完成交接,交接时间很短。交接前瞬间乙的速度大小是甲的 $\frac{4}{5}$,交接后乙的速度大小为 14.6 m/s 。队员甲完成推送后在水平直道上自然向前滑行了 20 m ,直至撞上缓冲垫后停下,此过程甲与冰面间的动摩擦因数为 0.05 ,重力加速度的大小 g 取 10 m/s^2 。求:

(1) 在直道上,乙在距甲多远的距离处开始滑动;
 (2) 队员甲撞上缓冲垫时的速度大小。

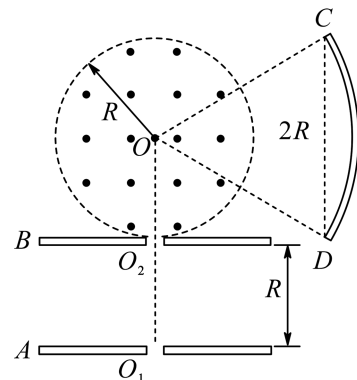
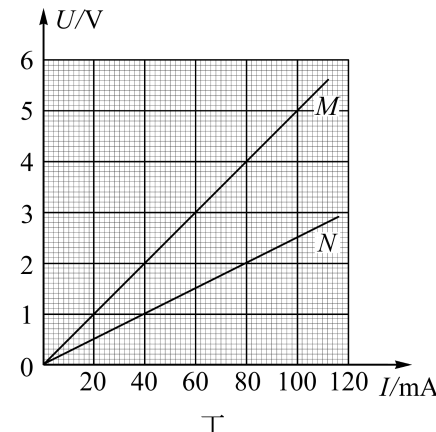
25. (20 分)

如图为一质谱仪的结构简图,两块相距为 R 的平行金属板 A 、 B 正对且水平放置,两板间加有可调节的电压, O_1 、 O_2 分别为 A 、 B 板中心处的两个小孔,点 O 与 O_1 、 O_2 共线且连线垂直于金属板, O 与 O_2 的距离 $OO_2=R$ 。在以 O 为圆心、 R 为半径的圆形区域内存在一磁感应强度大小为 B 、方向垂直纸面向外的匀强磁场。圆弧 CD 为记录粒子位置的胶片,圆弧上各点到 O 点的距离以及圆弧两端点 C 、 D 间的距离均为 $2R$, C 、 D 两端点的连线垂直于 A 、 B 板。粒子从 O_1 处无初速地进入到 A 、 B 间的电场后,通过 O_2 进入磁场,粒子所受重力不计。

- (1) 当 A 、 B 两板间电压为 U_0 时,粒子恰好打在圆弧 CD 的中点,求该粒子的比荷;
- (2) 一质量为 m_1 的粒子从磁场射出后,恰好打在圆弧上的 C 端点;在相同加速电压下,该粒子的一个同位素粒子则恰好打在圆弧上的 D 端点,求这个同位素粒子的质量;
- (3) 一质量为 m 、电荷量为 q 的粒子从 O_1 处无初速地进入电场,当 A 、 B 间所加电压不同时,粒子从 O_1 直至打在圆弧 CD 上所经历的时间 t 会不同,求 t 的最小值。

26. (14 分)

冶金工业的钒渣含有 V_2O_3 、 Cr_2O_3 、 SiO_2 、 Fe_2O_3 、 FeO 等,一种利用钒渣提钒并进行钒、



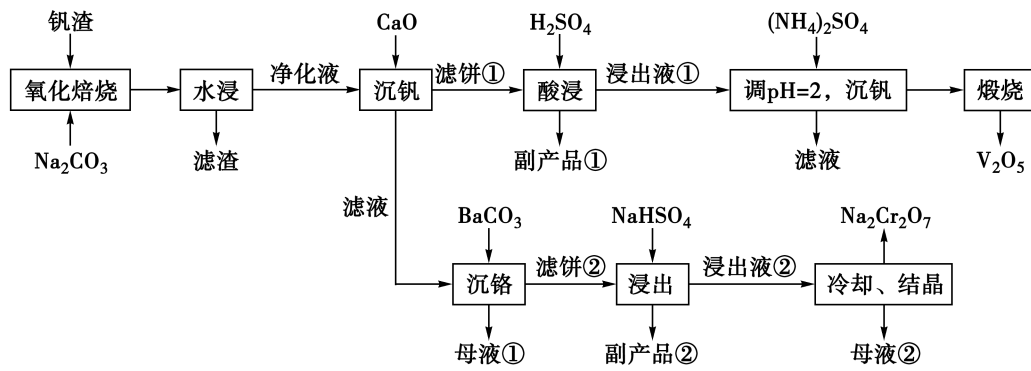
座位号_____

考场号_____

准考证号_____

姓名_____

铬分离的工艺流程如图所示：



已知: $K_{sp}(\text{BaCO}_3) = 5.1 \times 10^{-9}$, $K_{sp}(\text{BaCrO}_4) = 1.2 \times 10^{-10}$, $K_{sp}(\text{CaCrO}_4) = 2.3 \times 10^{-2}$; “净化液”中溶质只含有 NaVO_3 、 Na_2CrO_4 。

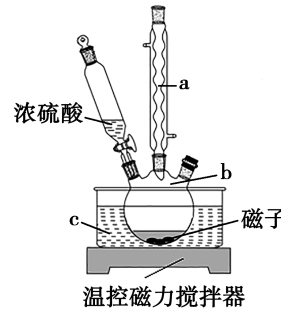
请回答下列问题:

- (1) 在“氧化焙烧”中被氧化的元素是_____ (填元素符号)。
- (2) 为提高“水浸”效率, 可采取的措施有_____ (答出两条)。
- (3) H_2SO_4 “酸浸”得到的副产品①是_____, 它的一种用途是_____。
- (4) “调 $\text{pH}=2$ ”, 最适宜使用的酸是_____。
- (5) “沉铬”反应的离子方程式为_____, “沉铬”反应的理论转化率为_____ (保留 3 位有效数字)。
- (6) 由于母液①最终返回到_____ 工序循环使用, 因此, 即使“沉铬”转化率低于理论值也不会对铬的回收产生多大的影响。
- (7) 用 NaHSO_4 “浸出”时发生反应的化学方程式为_____。

27. (14 分)

酚酞(H_2A)难溶于水, 易溶于酒精, 是一种有机弱酸, 是常用的酸碱指示剂和分析试剂。实验室制备酚酞可采用如下步骤(装置如图所示, 部分仪器略去):

- I. 将邻苯二甲酸酐($\text{C}_8\text{H}_4\text{O}_3$)与苯酚($\text{C}_6\text{H}_5\text{OH}$)在 b 中混合, 在剧烈搅拌下, 缓慢滴加约 2 mL 浓硫酸, 加热至 150 °C 进行反应, 待 b 内固体反应物全部熔融为澄清的液态混合物后, 停止加热。
- II. 装置冷却后, 量取 40 mL 稀硫酸, 在搅拌下加入 b 中, 从溶液中析出粗品酚酞后, 抽滤混合物。
- III. 将粗品酚酞置于烧杯中, 加适量水溶解, 在不断搅拌下滴加饱和碳酸钠溶液。
- IV. 继续加入足量碳酸钠溶液, 并加入适量水, 搅拌。
- V. 抽滤烧杯中的混合物, 洗涤滤渣, 合并洗涤液, 得到酚酞盐(A^{2-})溶液。
- VI. 将溶液转移至大烧杯中, 在搅拌下滴加浓盐酸, 直到红色褪去, 出现白色浑浊, 滤渣为不溶的杂质。
- VII. 将滤液转移至大烧杯中, 在搅拌下继续滴加浓盐酸, 最终析出白色晶体, 抽滤、洗涤得纯净的酚酞。

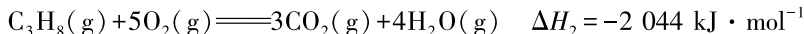
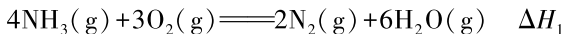


请回答下列问题：

- (1) 装置图中,仪器 a、b 的名称分别是_____、_____。
- (2) 水槽 c 中盛放的物质是_____ (填字母)。
- A. 水 B. 植物油 C. 无水乙醇
- (3) 步骤 I 中反应时间不宜过长,原因是_____。
- (4) 步骤 III 中使用的饱和碳酸钠溶液不能换成饱和碳酸氢钠溶液,原因是_____。
- (5) 步骤 IV 的作用是_____。
- (6) 步骤 V 中的洗涤剂应选用_____。
- (7) 步骤 VII 中滴加浓盐酸直到_____，最终析出白色晶体。

28. (15 分)

氨是具有潜力的载氢代氢清洁燃料。研究掺氨丙烷混合燃料的燃烧对于实现碳达峰、碳中和的目标具有现实意义。一定条件下,氨、丙烷充分燃烧的反应如下:



对于不同配比的燃料,定义过量空气系数 α 为完全燃烧 1 kg 燃料所实际供给的空气质量与所需的理论空气质量的比值。

请回答下列问题:

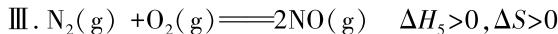
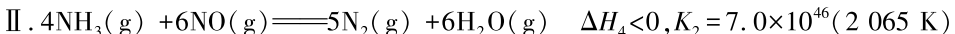
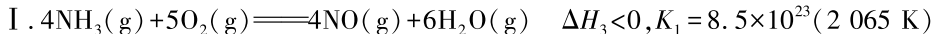
(1) 已知在一定温度和压强下,由最稳定的单质生成 1 mol 纯物质的热效应,称为该物质的生成焓(ΔH)。常温常压下,相关物质的生成焓如下表所示:

物质	$\text{NH}_3(\text{g})$	$\text{H}_2\text{O}(\text{g})$
$\Delta H/(\text{kJ} \cdot \text{mol}^{-1})$	-46	-242

$$\text{则 } \Delta H_1 = \text{_____ kJ} \cdot \text{mol}^{-1}.$$

(2) 在 100 kPa 下,10 mol 混合燃料在 $\alpha = 1$ 的条件下完全燃烧,产物只有 $\text{CO}_2(\text{g})$ 、 $\text{H}_2\text{O}(\text{g})$ 、 $\text{N}_2(\text{g})$ 。若混合燃料中氨的体积分数为 20%,则反应后混合气体中 $p_{\text{H}_2\text{O}(\text{g})} = \text{_____ kPa}$ (保留 3 位有效数字);若 10 mol 混合燃料中氨的体积分数为 10%,计算同样条件下燃烧后释放的热量将增加 _____ kJ。(忽略温度变化对焓变的影响,假设空气中 O_2 的体积分数为 20%)

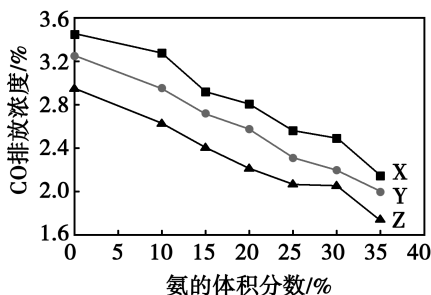
(3) 研究表明,氨和丙烷混合燃烧排放的引起大气污染的气体主要是 CO 和 NO。相关反应如下:



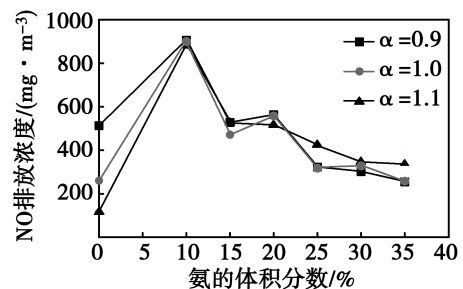
① 反应 III 能自发进行的条件是_____。

② α 分别为 0.9、1.0、1.1 时,烟气中 CO 排放浓度随氨体积分数变化的关系如图甲所示。 $\alpha = 0.9$ 对应的曲线是_____ (填“X”“Y”或“Z”),理由是_____。

③ 烟气中 NO 排放浓度随着氨的体积分数变化的关系如图乙所示。氨的体积分数大于 10% 时,NO 排放浓度逐渐减低的原因是_____。



甲

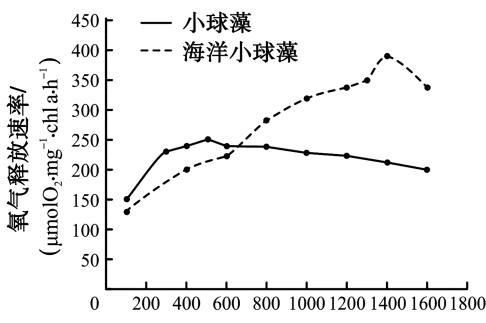


乙

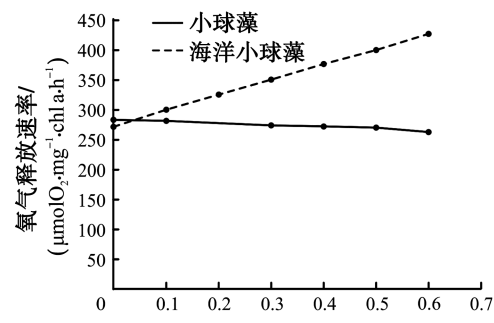
④丙烷中掺氨燃烧的优点是_____。

29. (9分)

小球藻有很高的应用价值。某研究人员利用测定氧气释放速率的方法，研究光照强度和盐度对小球藻和海洋小球藻光合作用的影响，结果如图所示。回答下列问题。



甲



乙

(1) 小球藻有以核膜为界限的细胞核，是_____生物。小球藻产生 O_2 的场所是叶绿体的_____。

(2) 由图甲分析，海洋小球藻在光照强度为 _____ $\mu\text{mol} \cdot \text{m}^{-2} \cdot \text{s}^{-1}$ 时氧气释放速率最大，对于小球藻和海洋小球藻而言，并非光照强度越大净光合速率就会越大，判断依据是_____。

(3) 由图乙分析，海洋小球藻对盐度有较强的适应性，判断依据是_____。从海洋小球藻的生存环境考虑，形成此适应性的原因可能是_____。

30. (9分)

我国自古“以农立国”，经过悠久岁月的积累，形成了丰富的农业生产技术体系。回答下列问题。

(1) 我国宋代著作《种艺必用》中，记载了尿泥促根的方法，其中“尿泥”的制作过程是，“用好黄泥晒干，筛过，以小便浸之。又晒干，筛过，再浸之。又晒又浸，凡十余次”，这些操作的目的是增加“尿泥”中的_____。

(2) 植物体内的多种激素之间具有复杂的相互关系。生长素促进细胞核的分裂，赤霉素促进细胞质的分裂，两者在促进植物节间的伸长生长时表现为_____（填“协同作用”或“拮抗作用”）；生长素氧化酶可催化生长素分解，赤霉素可使植物体内生长素的水平升高，从代谢的角度推测，赤霉素调节生长素水平的机制有可能是_____。

(3) 植物生长调节剂具有_____等优点，在农林园艺生产上有着广泛的应用。选用

生长素类似物促进插条生根的方法很多,为节省时间,常配置浓度较高的生长素类似物药液,使用_____法处理插条。

31. (9分)

党的二十大报告指出,“我们要推进美丽中国建设,坚持山水林田湖草沙一体化保护和系统治理”,对城市湿地(湖泊、河流等)的保护与修复就是具体措施之一。回答下列问题。

(1)过去,城市湿地水质恶化后,自身的净化作用已不足以消除大部分有毒物质,其主要是_____ (填“抵抗力”或“恢复力”)稳定性被破坏,说明生态系统自我调节能力是有限的。

(2)为改善城市湿地的水质,可采取的措施有_____。(答出两点即可)

(3)某研究小组选取城市湿地生态系统中典型的水生植物(挺水植物:菖蒲、千屈菜、旱伞草;浮水植物:水葫芦;沉水植物:黑藻),探究水生植物对水体中磷的净化效果。检测污水中总磷质量浓度(mg/L)随时间的变化,结果如表所示。

时间	菖蒲	千屈菜	旱伞草	水葫芦	黑藻
10 d	0.14	0.13	0.11	0.10	0.12
20 d	0.12	0.11	0.07	0.05	0.09
30 d	0.11	0.10	0.04	0.02	0.13

①城市湿地的挺水植物、浮水植物和沉水植物分别利用了湿地的不同空间,形成了群落的_____结构,这种分层现象显著提高了群落利用阳光等环境资源的能力。

②为确定这些植物对水体中磷的净化效果,排除水体自身净化作用对结果的影响,还应该增加一个_____组。

③若采用净化效果最好的植物种类进行大规模种植,则需要配套建设以这种植物为主要原料的饲料加工厂,其主要原因是_____。(答出1点即可)

32. (12分)

某种二倍体甜瓜的叶形有缺刻叶和全缘叶,果皮有齿皮和网皮,分别受一对等位基因控制。为研究叶形和果皮这两个性状的遗传特点,将缺刻叶网皮植株和全缘叶齿皮植株进行杂交实验, F_1 的表现型及比例为缺刻叶齿皮:缺刻叶网皮:全缘叶齿皮:全缘叶网皮=1:1:1:1。回答下列问题。

(1)根据实验结果,不能确定缺刻叶的显隐性。若要探究该问题,可选择 F_1 中的个体进行杂交。

(2)根据 F_1 的表现型及比例,不能确定两对相对性状的遗传是否符合基因的自由组合定律,原因是_____。

(3)假设缺刻叶为显性,齿皮为显性。若要探究两对相对性状的遗传是否符合基因的自由组合定律,应选择 F_1 中的个体进行自交,如果自交后代的表现型及比例为_____,则可以证明符合基因的自由组合定律。若已证明,为获得稳定遗传的缺刻叶齿皮品种,可采用单倍体育种,育种过程是_____。

(二)选考题:共45分。请考生从给出的2道物理题、2道化学题、2道生物题中每科任选一题作答,并用2B铅笔在答题卡上把所选题目的题号涂黑。注意所选题目的题号必须与所涂题目的题号一致,在答题卡选答区域指定位置答题。如果多选,则每学科按所做的第一题计分。

33. [物理——选修3-3] (15分)

(1)(5分)如图所示,一定质量的理想气体从状态A依次经过状态B、C、D后又回到状

态 A。其中, $A \rightarrow B$ 和 $C \rightarrow D$ 为等温过程, $B \rightarrow C$ 和 $D \rightarrow A$ 为绝热过程(气体与外界无热量交换), 这就是著名的“卡诺循环”。该循环过程中, 下列说法正确的是_____ (填正确答案标号。选对 1 个得 2 分, 选对 2 个得 4 分, 选对 3 个得 5 分。每选错 1 个扣 3 分, 最低得分为 0 分)

- A. $A \rightarrow B$ 过程中, 外界对气体做功
- B. $C \rightarrow D$ 过程中, 气体始终放热
- C. $D \rightarrow A$ 过程中, 气体的内能减小
- D. $B \rightarrow C$ 过程中, 气体分子在单位时间内与器壁单位面积上碰撞的次数减少
- E. 从状态 A 经过一个循环又回到 A 的过程中, 气体吸热大于放热

(2) (10 分) 如图所示, 体积为 V_0 的导热容器被一光滑导热活塞 C(厚度忽略不计)分成 A、B 两个气室, 各封闭一定质量的气体, 平衡时 B 室体积是 A 室体积的 2 倍, A 室容器上连接有一管内气体体积不计的 U 形管, 管右侧上端开口, 两侧水银柱高度差为 76 cm, B 室容器可通过一阀门 K 与大气相通。已知外界大气压 $p_0 = 76$ cmHg, 环境温度 $T_0 = 300$ K。

(i) 环境温度保持不变, 将阀门 K 打开, 稳定后 B 室内剩余气体的质量和 B 室原有气体质量之比是多少?

(ii) 打开阀门 K, 稳定后, 若将环境温度缓慢升高, 当环境温度升至多少时, 活塞 C 恰好能到达容器的最左端。

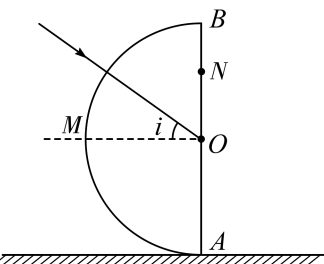
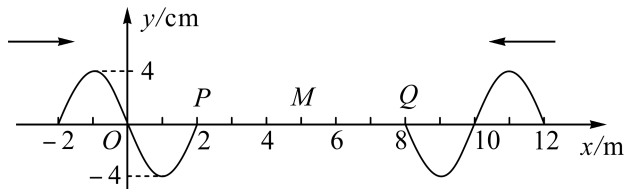
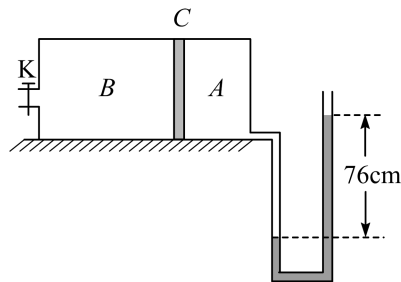
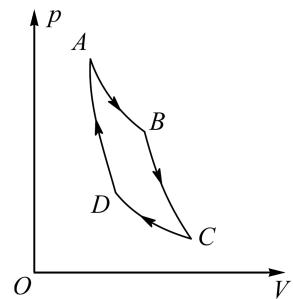
34. [物理——选修 3-4] (15 分)

(1) (5 分) 如图所示, 两列简谐横波分别沿 x 轴正方向和负方向传播, 两波源分别位于 $x = -2$ m 和 $x = 12$ m 处, 两列波的传播速度均为 $v = 4$ m/s, 两波源的振幅均为 $A = 4$ cm。

图示为 $t = 0$ 时刻两列波的图像, 此时刻平衡位置处于 $x = 2$ m 和 $x = 8$ m 的 P、Q 两质点刚开始振动, 质点 M 的平衡位置处于 $x = 5$ m 处。下列说法正确的是_____ (填正确答案标号。选对 1 个得 2 分, 选对 2 个得 4 分, 选对 3 个得 5 分。每选错 1 个扣 3 分, 最低得分为 0 分)

- A. $t = 0.75$ s 时刻, 两列波开始相遇
- B. $t = 0.75$ s 时刻, 质点 P、Q 均运动到 M 点
- C. 质点 P、Q 的起振方向均沿 y 轴负方向
- D. $t = 1$ s 时刻, 质点 Q 的速度为 0
- E. $t = 1$ s 时刻, 质点 M 的位移为 -8 cm

(2) (10 分) 如图, 一玻璃砖的横截面为一圆心为 O、半径为 R 的半圆, 直径 AB 与水平地面垂直并接触于 A 点, OM 水平。一束激光从玻璃砖圆弧面 BM 射向圆心 O, 逐渐增大激光的入射角 i, 发现水平地面上的两个光斑逐渐靠近, 当地面上刚好只有一个光斑时, 此光斑距 A 点的距离为 $\sqrt{2}R$ 。



(i) 求玻璃砖的折射率 n ;

(ii) 若该束激光以 60° 的入射角从 AB 右侧斜向下射向 AB 上的 N 点, 已知 ON 间的距

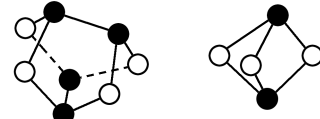
离为 $\frac{\sqrt{3}}{3}R$, 不考虑激光在 AMB 弧面上的反射, 求此时地面上两个光斑之间的距离 x 。

35. [化学——选修3: 物质结构与性质](15分)

中国古代艺术作品色彩艳丽, 璀璨夺目, 离不开矿物颜料的使用。

请回答下列问题:

(1) 雄黄(As_4S_4)和雌黄(As_2S_3)是矿物质颜料中的主要黄色颜料, 它们是共生矿物。二者的分子均为非极性分子, 结构分别如图所示。



雄黄

雌黄

①基态 As 原子的核外电子排布式为 $[\text{Ar}] \text{_____}$ 。

②雌黄中 $\text{As}-\text{S}-\text{As}$ 键角 _____(填“大于”“小于”或“等于”) $\text{S}-\text{As}-\text{S}$ 键角。

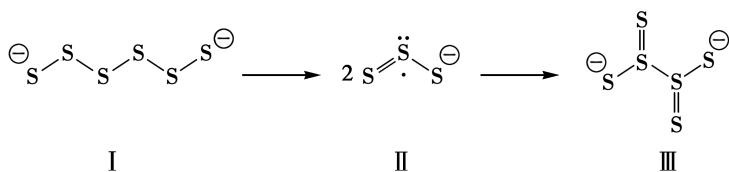
③雄黄和雌黄比砷的氧化物的毒性要小很多, 除结构稳定性的原因之外, 从物理性质的角度分析, 还与其 _____ 有关。

(2) 我国古代很早就把青金石作为彩绘用的蓝色颜料, 青金石是方钠石类铝硅酸盐中的一种, 其化学式为 $(\text{Na}, \text{Ca})_8[\text{AlSiO}_4]_6[\text{SO}_4, \text{S}, \text{Cl}]_2$ 。

①青金石的结构中 SO_4^{2-} 、 S^{2-} 代替了方钠石中部分 Cl^- 的占位, Ca^{2+} 代替了部分 Na^+ 的占位, 则方钠石的化学式为 _____。

②青金石中第三周期各元素的第一电离能由大到小的顺序为 _____。

③青金石的颜色与骨架内填入的阴离子有关, 其中一种重要阴离子是三硫自由基阴离子。研究表明, 三硫自由基阴离子(Ⅱ)可以通过多硫阴离子 S_6^{2-} (Ⅰ)在高温下的均裂反应得到, 并最终可能异构化为另一种 S_6^{2-} 的异构体(Ⅲ), 过程如下图:

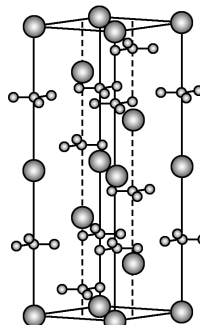


关于Ⅰ、Ⅱ、Ⅲ三种物质, 下列说法正确的有 _____(填字母)。

- A. Ⅰ 中的 $\text{S}-\text{S}$ 键都是 σ 键
- B. Ⅱ 中的 S 原子最外层都满足 8 电子稳定结构
- C. Ⅱ 的中心硫原子的杂化轨道类型为 sp
- D. O_3^- 与 Ⅱ 互为等电子体
- E. Ⅲ 一定为平面形结构

(3) 方解石在距今约 7 000 年的仰韶文化时已开始作为白色颜料使用, 是分布最广的矿物之一, 其化学式为 CaCO_3 。一定条件下, 方解石的一种六方晶胞结构如图所示, 晶胞底面为菱形, 其较小夹角为 60° , 边长为 $a \text{ nm}$, 晶胞高为 $c \text{ nm}$ 。

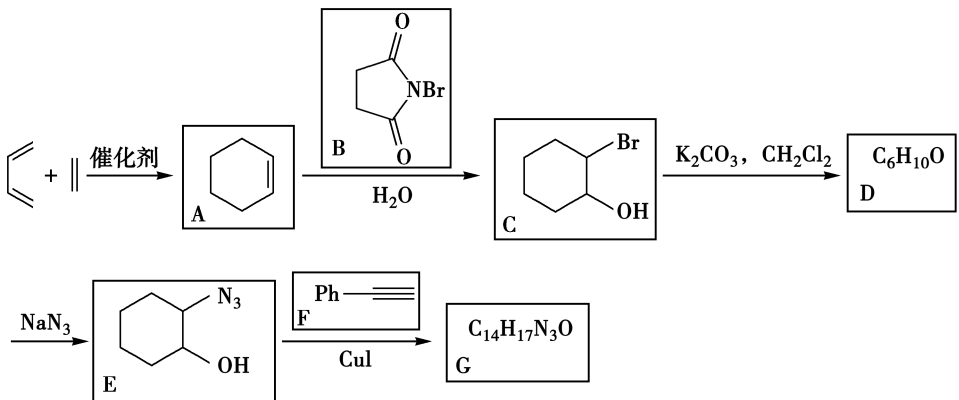
①该方解石结构中阴离子的空间构型为 _____。



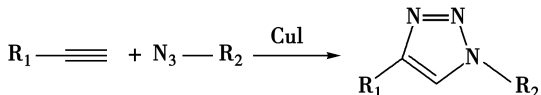
②设 N_A 为阿伏加德罗常数的值,则该方解石晶体的摩尔体积 $V_m = \underline{\hspace{2cm}}$ $\text{m}^3 \cdot \text{mol}^{-1}$ (列出算式)。

36. [化学——选修 5:有机化学基础](15 分)

Sharpless 教授发现,在亚铜的催化下,末端炔烃可以高区域选择性地与叠氮化合物发生高效的 Click(点击)反应,Sharpless 教授也因此获得了 2022 年诺贝尔化学奖。科学家以乙烯和 1,3-丁二烯()等为原料,经过多步转化和 Click 反应合成化合物 G,合成路线如下(Ph—表示苯基,部分反应条件已简化):



Click 反应示例:



请回答下列问题:

(1) 乙烯和 1,3-丁二烯生成 A 的反应类型是_____。

(2) C 的化学名称为_____。

(3) A→C 的化学方程式为_____。

(4) D 为环醚,其结构简式为_____。

(5) G 的结构简式为_____。

(6) 乙烯和 1,3-丁二烯生成  的反应称为 Diels-Alder 反应,是有机化学合成反应

中碳碳键形成的重要手段之一。两分子环戊二烯()也可以发生 Diels-Alder 反应生成二聚环戊二烯(分子式为 $\text{C}_{10}\text{H}_{12}$),二聚环戊二烯的结构简式为_____。

(7) 在 B 的同分异构体中,同时满足下列条件的有_____种(不考虑立体异构)。

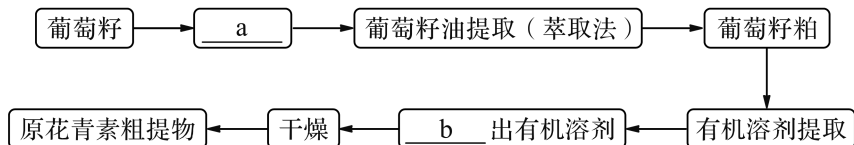
a. 最少有三个碳原子在一条直线上;b. 不含环状结构;c. 含有硝基和溴原子。

上述同分异构体中,在同一直线上的碳原子最多且含有手性碳(碳原子上连有 4 个不同的原子或基团时,该碳称为手性碳)的化合物的结构简式为_____。

37. [生物——选修1:生物技术实践](15分)

随着时代发展,人们对科学护肤日益重视。原花青素可抑制黑色素和紫外线引起的色素沉着,从而达到皮肤增白的效果。胡萝卜素可维持皮肤黏膜层的完整性,防止皮肤干燥、粗糙。回答下列问题。

(1) 我国有着丰富的葡萄资源,每年约产生5 000吨的副产品葡萄籽,若处理不当易变质污染环境。为变废为宝,可用葡萄籽提取葡萄籽油和葡萄籽原花青素。提取流程如图所示。



①过程a是_____，过程b是_____。

②葡萄籽油溶解性特点是不溶于水,易溶于_____.葡萄籽原花青素能很好地溶解于水,可以用沸水粗提,但原花青素的提取量损失较多,推测其原因可能是_____。

(2) 胡萝卜素是_____ (填“挥发性物质”或“非挥发性物质”),可用萃取法提取。萃取效率主要取决于萃取剂的_____. 鉴定萃取物中是否含有胡萝卜素时,通常采用纸层析法,并以_____样品作为对照。

(3) 胡萝卜含有的胡萝卜素中,最主要的是 β -胡萝卜素,在人体内可被氧化成两分子的_____,因此胡萝卜素可以用来治疗干皮症。

38. [生物——选修3:现代生物科技专题](15分)

生物科技广泛应用于农业生产,以改善农作物品质、提高产量。植物成熟果实细胞中会表达大量的半乳糖醛酸酶(PG),导致成熟果实易于损伤。科学家利用番茄的PG基因构建反义PG基因表达载体,导入番茄细胞,培育出转基因延熟番茄。图甲是反义PG基因的作用机理,图乙是质粒结构图及相应的酶切位点。回答下列问题。



(1) 从番茄细胞中提取PG基因转录的mRNA, 经过_____产生cDNA,再用_____技术体外扩增。该技术需先设计合成_____,并使用_____酶来催化。

(2) 构建反义PG基因表达载体时需在启动子和终止子之间反向插入PG基因。为使目的基因与质粒正确连接,并提高两者重组的成功率,需在扩增的目的基因两端分别引入_____ (填“EcoR I 和 EcoR I ”、“BamH I 和 BamH I ”或“BamH I 和 EcoR I ”)限制酶的识别序列。质粒上有标记基因,利用抗生素可筛选出含质粒载体的宿主细胞,方法是_____。

(3) 用含反义PG基因的农杆菌侵染番茄细胞,再通过_____技术培育出转基因番茄。在转基因番茄中,反义PG基因能抑制PG合成的原因是阻断了_____。